

В. Копейкин

**Георадарное
обследование кратеров
Тунгусского метеорита**



Обследование Сусловской воронки георадаром Лоза

Москва 2013 г.

Рисунки к статье:
«Георадарное обследование воронок Тунгусского метеорита»

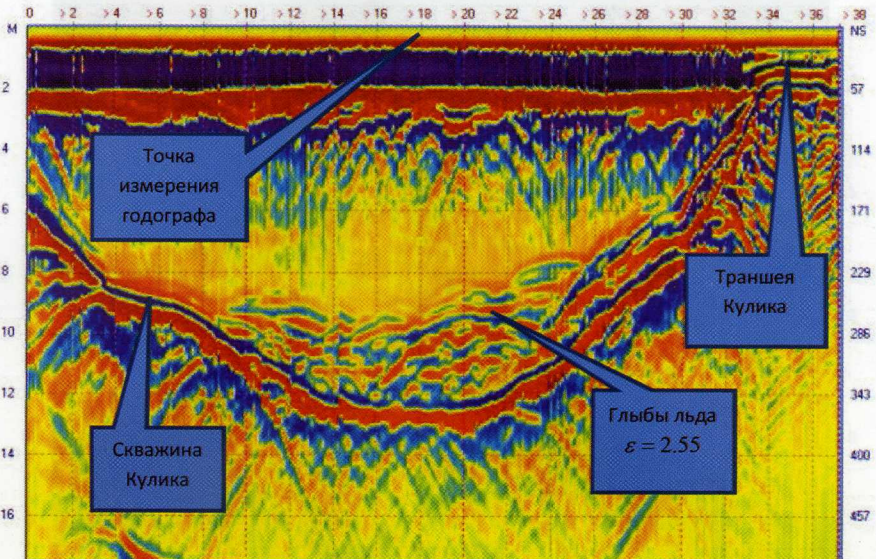


Рис. 6. Сусловская воронка. Сечение север – юг.

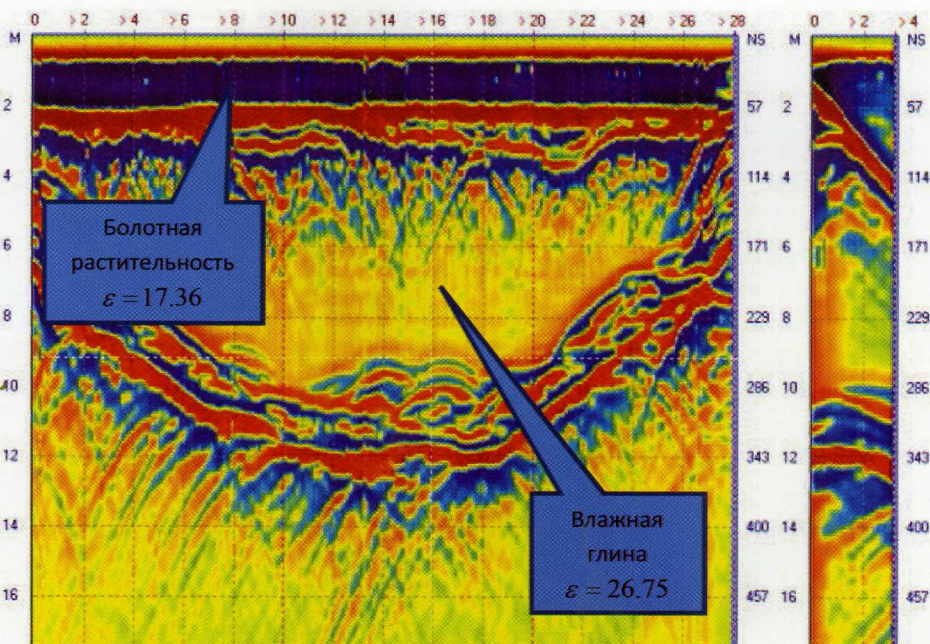


Рис. 7. Сусловская воронка. Сечение запад – восток и годограф.

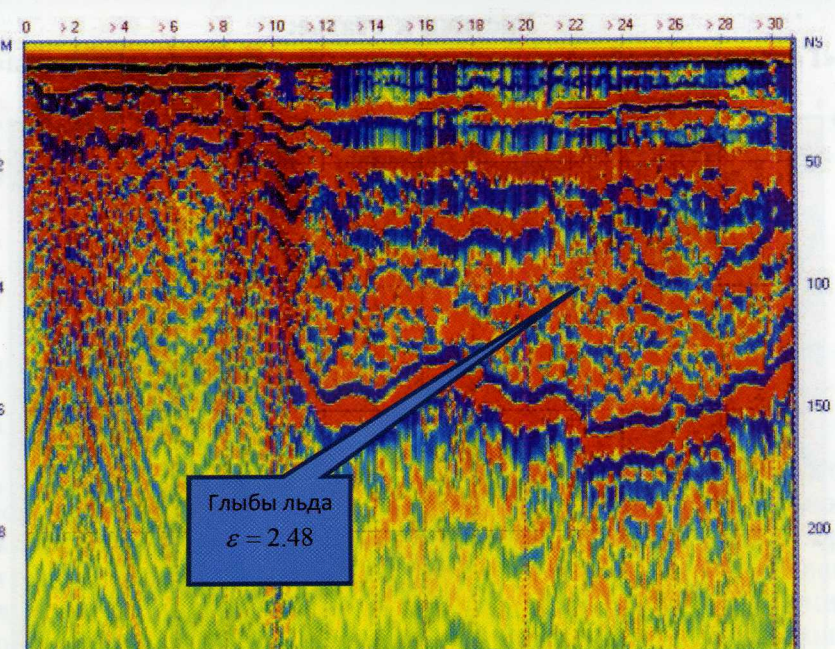


Рис. 8. Воронка N 60 54'24.7" E 101 53'54,4"

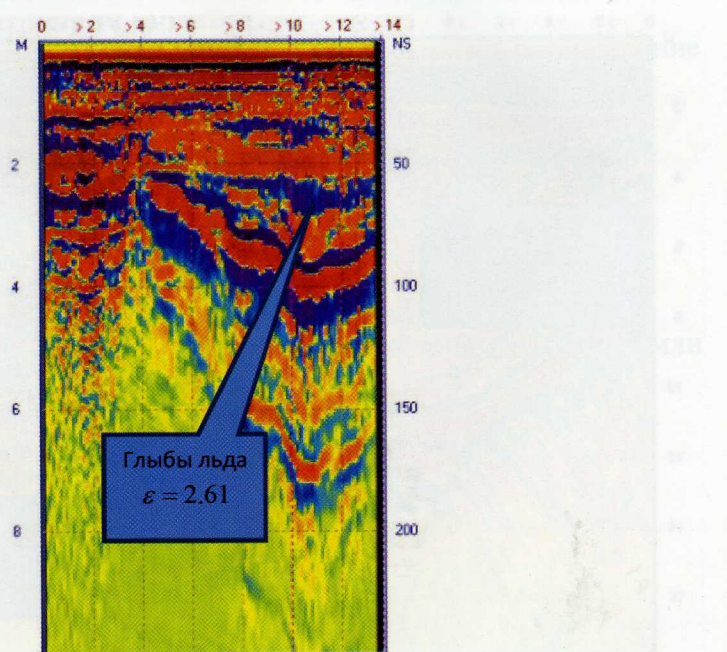


Рис. 9. Воронка N 60 54'19.6" E 101 54'01.1"

Иллюстрации

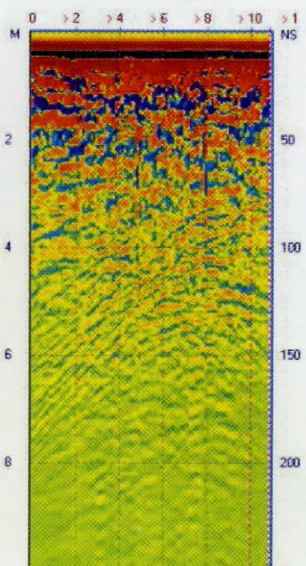


Рис. 10. Типичный георадарный профиль по бугристому торфянику.
Воронки отсутствуют. Для сравнения.

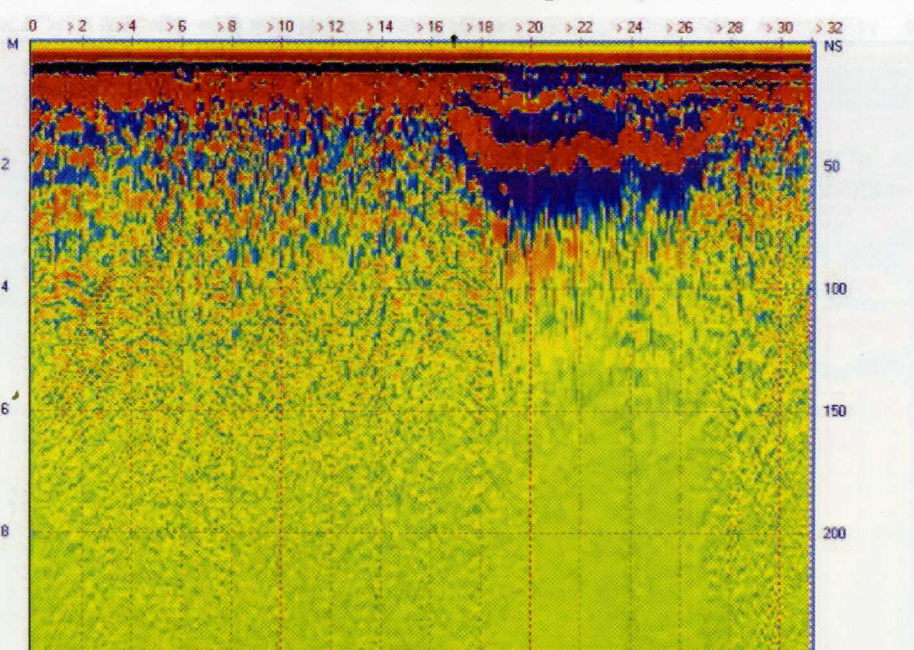


Рис.11. Воронка Афиногенова на горе Стойковича N 60°53'58.0" E 101°55'58.0". Скала, лед отсутствует.

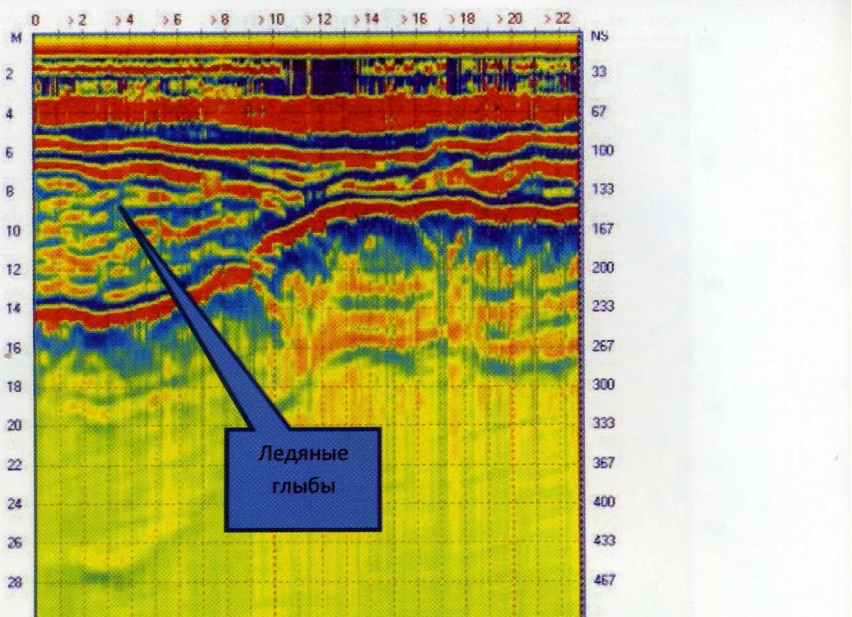


Рис. 12. Воронка в Южном болоте с координатами N 60° 53'43.3" E 101° 54'25.9", где бурил Л.А. Кулик. Ледяные глыбы начинаются с 7 метров.

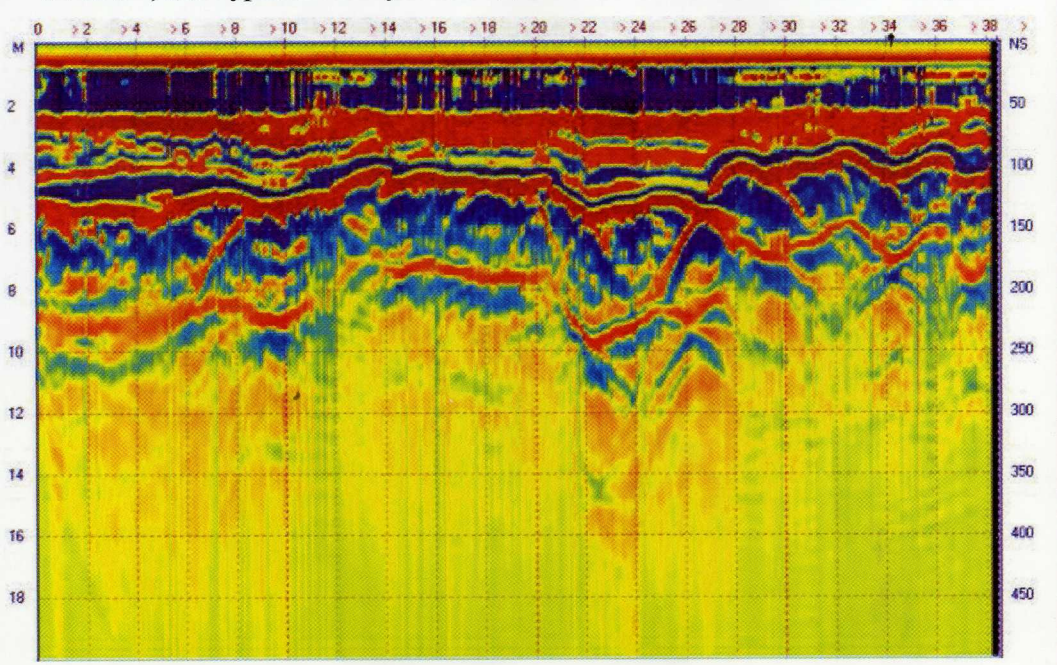


Рис. 13. Две расположенныхных через 10 метров воронки в небольшом болоте N 60° 54'12.1" E 101° 54'24.7". Сильный перемес слоев.

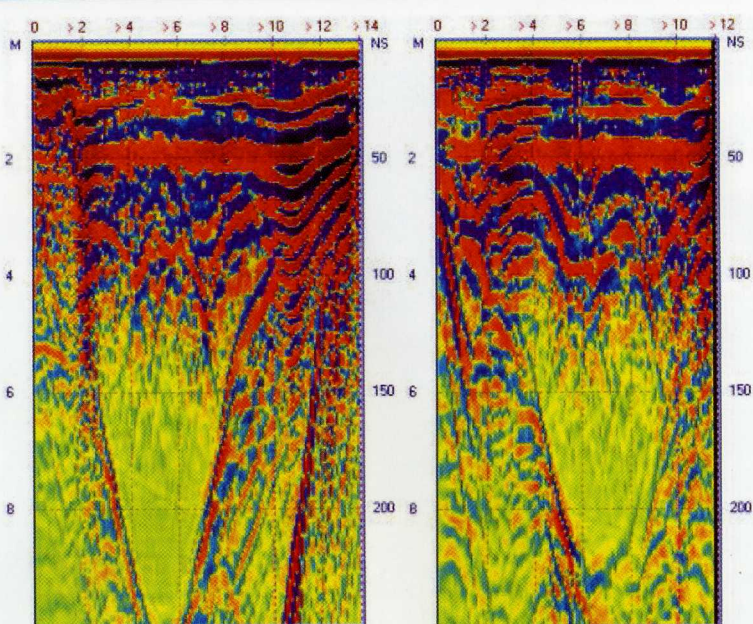


Рис. 14. Сечение юг – север и восток – запад первой (южной) воронки на Северных островах Южного болота.

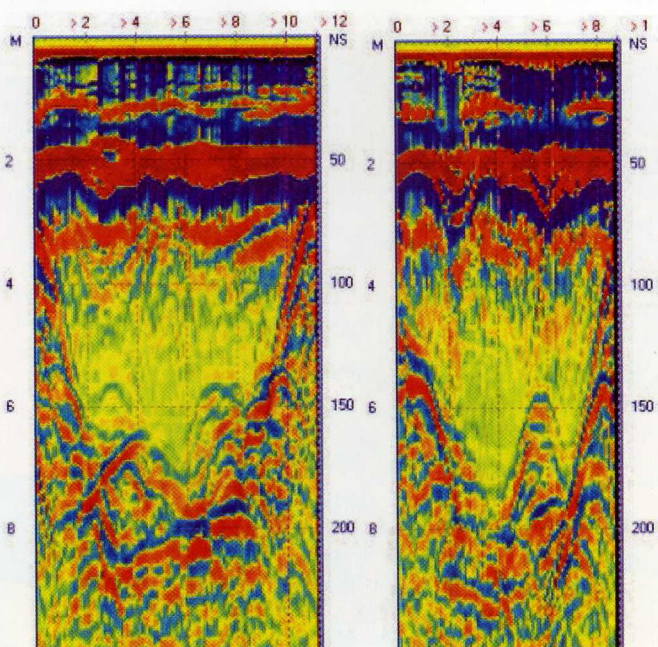


Рис. 16. Сечения юг – север и восток – запад второй (северной) воронки на Северных островах Южного болота.

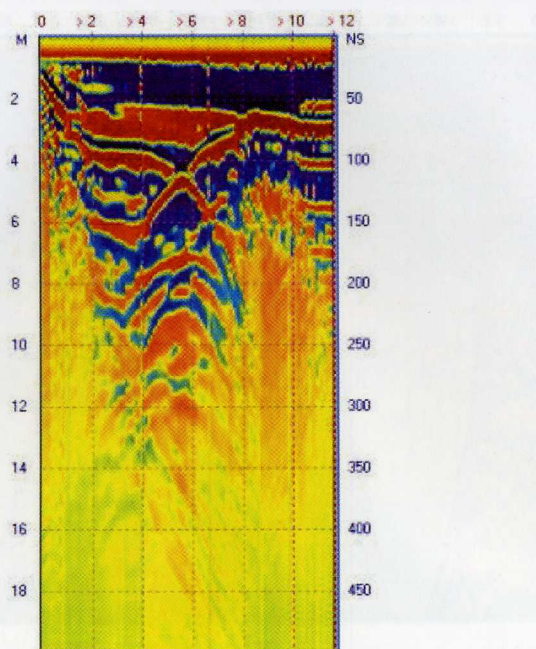


Рис. 17. Воронка N 60 54'19.1" E 101 54'04.1".

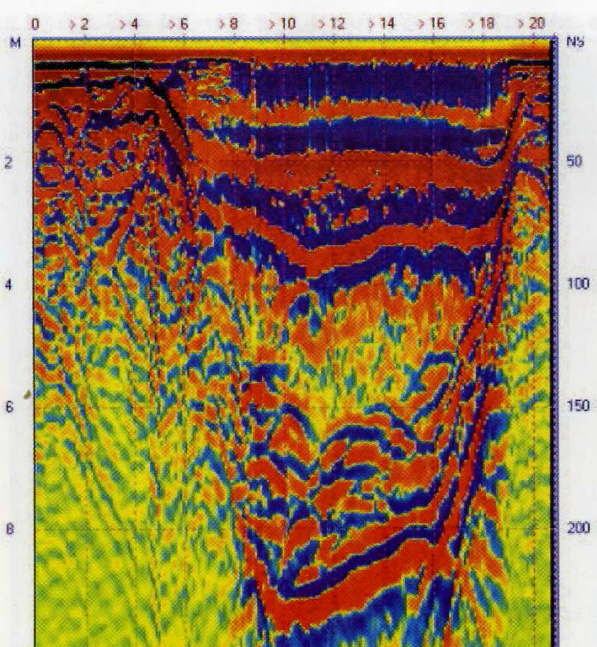


Рис. 18. Воронка N 60 54'17.8" E 101 54'10.1".



Рис 19. Ручное бурение воронки.

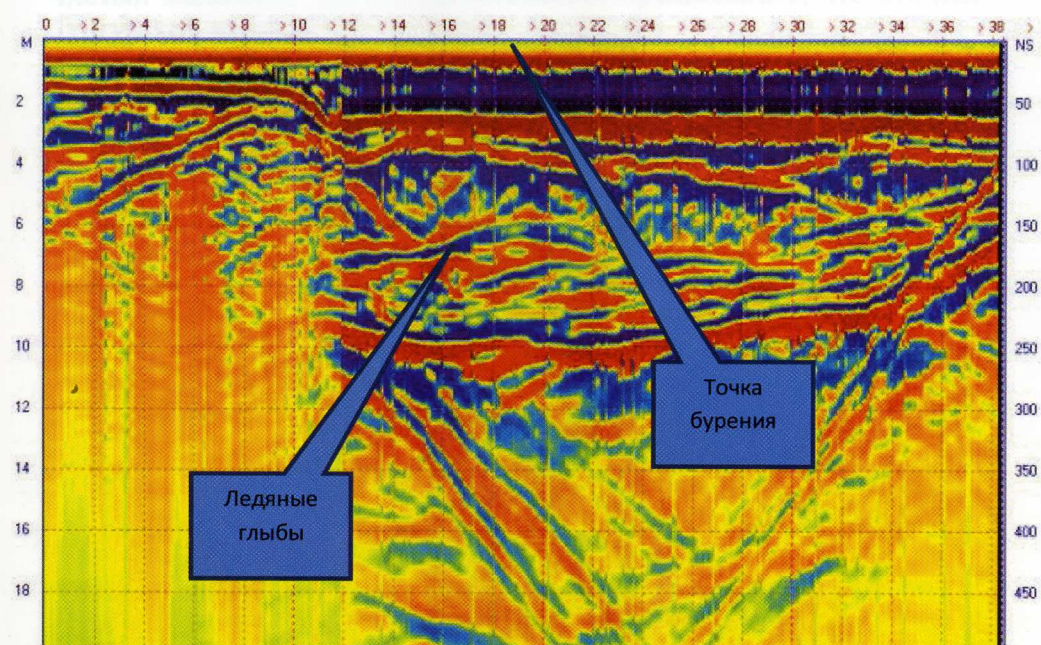


Рис. 20. Георадарный профиль разбуруиваемой воронки.



Рис. 21. «Молочный» и темный кристаллический лед с глубины 7 метров.
Образцы загрязнены жидким илом при подъеме керна.

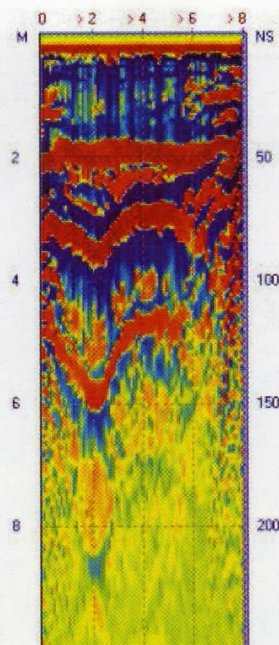


Рис. 22. Воронка N 60 54'10.5" E 101 54'28.2" возле заимки Кулика, где мы
брали питьевую воду.



Вид на эпицентр падения Тунгусского метеорита с вертолета.